

III-B 15 コンクリート杭破損部から放射されたAE波形の特徴

飛鳥建設技術研究所 正会員 塩谷智基  
 飛鳥建設技術研究所 正会員 森伸一郎  
 飛鳥建設技術研究所 正会員 岩城圭介  
 飛鳥建設技術研究所 正会員 境野典夫

1. はじめに 構造物に地震などの予期せぬ外力が作用した場合、その健全性評価が必要となる。外観から調査可能な上部構造に対し、下部、特に地中深くまで埋設された杭基礎の被害調査は困難である。これまで、杭の健全性調査法として、杭上部からの衝撃弾性波試験（IT試験）、杭自体の削孔によるコア観察、また孔内に CCD カメラを挿入するボアホースカメラ等が多用されている。しかし、いずれの方法も直接的調査であり、杭自身の一部を露出、破壊しなければならず、被災した当該構造物の関係者心理を考慮すると、最良の調査法とはいえない。著者らは、上述の事項を考慮し、間接的に杭の健全性が評価可能な「AE法によるコンクリート杭破損調査法<sup>1) 2)</sup>」を検討してきた。本報告では、特に被災したコンクリート杭から発せられるAE波の特徴についてAEセンサーを①杭に直接設置（以下、直接AE計測とする）、②杭近傍の地盤内にAEセンサーを内蔵した導波棒を設置（以下、間接AE計測とする）の二つの場合について述べる。

2. AE計測位置および検出方法 調査場所は、1995年兵庫県南部地震で被災した神戸市中央区の高層建築物基礎（場所打杭：φ1,100mm L:10.5m）であり、調査時（1995年10月）には当該建物の上部は解体・撤去され、フーチング以下の基礎を残すのみであった。杭の健全性調査は、図-1に示すA～Eの5本の杭について行った。間接AE計測はA杭近傍

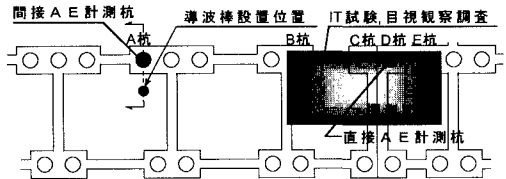


図-1 調査位置平面図

の地盤を削孔し、スuspension型導波棒を上・下の2深度に設置し行った。直接AE計測は、D杭頭部にAEセンサーを設置し行った。なお、両方法ともにAEはフーチング上部に重機を載せ変動荷重を与えて励起させた。ここで、B～D杭には他の調査（IT試験、杭頭観察）も併せて実施した<sup>3)</sup>。

2.1 コンクリート杭での直接AE計測 図-2は、AEセンサーを設置したD杭のスケッチを示している。D杭には横断方向に0.15～0.9mmのクラック、杭頭表面のコンクリートの欠損、腐食の進んだ主筋の露出が認められている。AEセンサー（60kHz共振型）は、D杭頭より190mm下に真空ガラスを介しガムテープにより圧着した。検出されたAE信号はリアンプにより40dB増幅し、AE計測DSPボード（MISTRAS, PAC社製）で信号処理しパーソナルコンピュータに取込んだ。

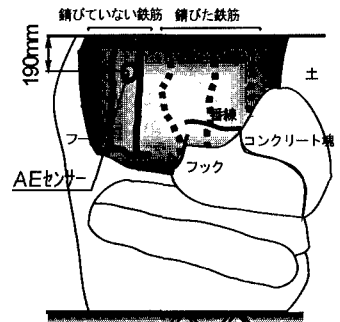


図-2 直接AE計測スケッチ

2.2 導波棒による間接AE計測 図-3に調査地盤の性状と間接AE計測位置詳細断面図を示す。地盤は、地表から3mまでがシルト質砂の埋立土、6mまでが緩い砂、6m～7m（杭頭から3.5m～4.5m）にN値30以上の密な砂礫層があり、以深はシルト質の砂層である。AE計測は、同図に示す計測位置で地表から10mの深度まで削孔された4インチ径内に清水を充填し、スuspension型導波棒<sup>4)</sup>（L=5m、両端60kHz共振型AEセンサー内蔵）を吊り下げて計測した。

3. AE計測結果 図-4は、直接AE計測により得られたAE波形であり、図-5は、地盤を介して導波棒により検出されたAE波形である。なお、ここでは振幅値等の変化によるAE波の伝播減衰については、これらの波形が同じAE源での検出結果ではないので言及しない。図-4より、杭破損部より発せられるAE波形は立上りが鋭く、5kHz～230kHzの広い範囲に周波数成分を持つ特徴を有する。一方、図-5

の導波棒により得られた AE 波形は、40kHz 前後のみに周波数成分が卓越し、波の立上りが鈍く、継続時間が長い特徴を有する。以上の結果は、高周波数成分を含んだ AE 源が地盤、導波棒（金属）等を伝播することで、高周波数成分を失い、かつ継続時間が長くなるという一般論に矛盾しない。直接 AE 計測した AE 波形の中には、図-6 に示すよう P 波と S 波が明確に分離可能な検出例もある。同図の P 波と S 波の初動時間差： $\Delta t$  は約  $40 \mu s$  であり、場所打コンクリート杭の弾性波速度  $V_p$  を  $3800m/s$ 、 $V_s$  を  $1/2V_p$  とすると、AE 源の位置  $L$  はセンサー位置から (1) 式により、 $15.2cm$  となり、実際のクラックまでの位置：約  $10cm$  と比較的良好に一致する結果となった。

$$L = \Delta t (V_s \cdot V_p) / (V_p - V_s) \quad (1)$$

**4. 結論** コンクリート杭の破損部から発する AE を直接、間接的に検出し各々の波形の特徴を検討し、以下の結論が得られた。

1) 杭破損部より発せられる AE 波形は立上りが鋭く、 $5kHz \sim 230kHz$  の広い範囲に周波数成分を持つ。

2) 導波棒により得られた AE 波形は、 $40kHz$  前後のみの周波数成分が卓越し、波の立上りが鈍く、継続時間が長い。

3) 直接 AE 計測した AE 波形の中には、一部 P 波と S 波が分離できる例もあり、両波の到達時間差より算出される AE 源は実際のクラック位置と比較的良好に一致した。

**【参考文献】**

- 1) 森伸一郎, 塩谷智基, 宇良成泰, 藤井清司: 地震で被災したコンクリート杭の AE 破損調査法, 第 23 回土木学会地震工学研究発表会, pp.655-658, 1995.
- 2) 森伸一郎, 塩谷智基: AE を利用したコンクリート杭破損調査法の軟弱地盤状の構造物基礎への適用, 第 31 回地盤工学研究発表会投稿中, 1996.
- 3) 森伸一郎, 塩谷智基, 岩城圭介, 境野典夫: 誘発させた AE を利用したコンクリート杭破損調査法の実建物への適用, 第 31 回地盤工学研究発表会投稿中, 1996.
- 4) 岩城圭介, 森伸一郎, 塩谷智基, 境野典夫: AE を利用したコンクリート杭破損調査法におけるスパンション型導波棒の適用, 土木学会第 51 回年次学術講演会投稿中, 1996.

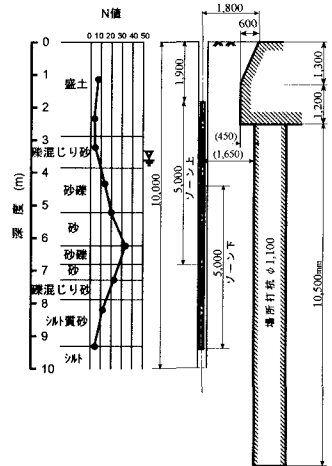


図-3 間接 AE 計測詳細

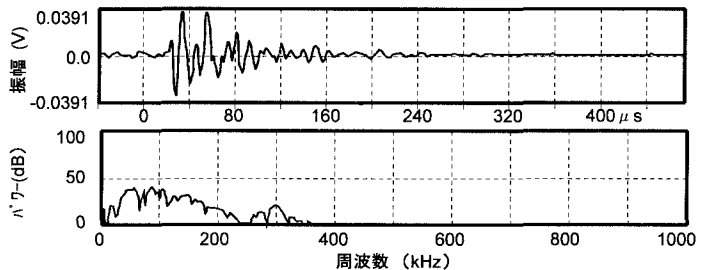


図-4 直接 AE 計測により得られた波形, 周波数スペクトラム

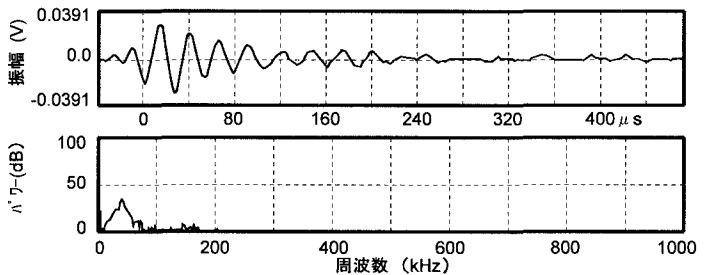


図-5 間接 AE 計測により得られた波形, 周波数スペクトラム

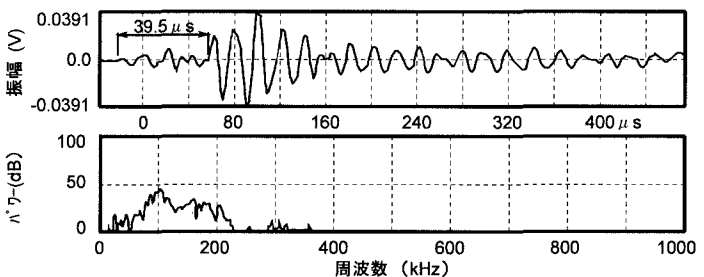


図-6 直接 AE 計測により得られた波形, 周波数スペクトラム